



НОВЫЕ ЗАРЯДОДЕФИЦИТНЫЕ АНАЛОГИ АГМАТИНА

© 2005 г. А. Р. Симонян*, Н. А. Григоренко*, Й. Вепсалайнен**, А. Р. Хомутов**

*Институт молекулярной биологии им. В.А. Энгельгардта РАН,
119991, Москва, ГСП-1, ул. Вавилова, 32;**Департамент химии, Университет г. Куопио, Финляндия
Поступила в редакцию 18.03.2005 г. Принята к печати 11.04.2005 г.

Показано, что трифлат ди-Вос-гуанидина с высоким выходом гуанидинирует *O*-замещенные гидроксиламины. Синтезированы неизвестные ранее изостерные зарядодефицитные аналоги агматина – *N*-(3-аминооксипропил)гуанидин и *N*-(3-аминопропокси)гуанидин. Обсуждаются возможности использования этих соединений для изучения метаболизма полиаминов.

Ключевые слова: агматин, полиамины, *O*-замещенные гидроксиламины.

ВВЕДЕНИЕ

Агматин является одним из ключевых метаболитов аргинина (схема 1) и широко распространен в бактериях, растениях и беспозвоночных [1].

В середине 1990-х годов агматин был найден и у эукариот, однако содержание его невелико и колеблется от нескольких до десятков миллиграмм на килограмм ткани [2]. Агматин является эф-

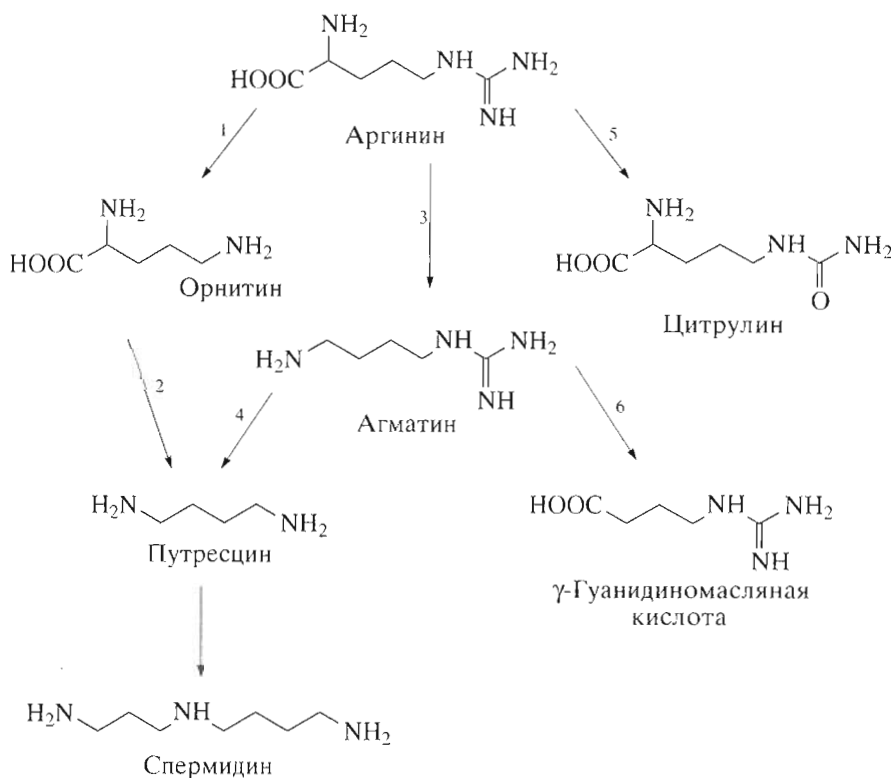


Схема 1. Метаболизм агматина [1]. 1 – Аргиназа (КФ 3.5.3.1); 2 – ODC – орнитин декарбоксилаза (КФ 4.1.1.17); 3 – ArgDC – аргинин декарбоксилаза (КФ 4.1.1.19); 4 – агматиназа (КФ 3.5.3.11); 5 – NO-синтаза (КФ 1.14.13.39); 6 – диаминооксидаза (КФ 1.4.3.6).

Сокращения: Agm – агматин (1-гуанидино-4-амиnobутан); AO-Agm – *N*-(3-аминооксипропил)гуанидин; ArgDC – декарбоксилаза аргинина; GAPA – *N*-(3-аминопропокси)гуанидин; ODC – декарбоксилаза орнитина; Put – путресцин (1,4-диаминообутан); Tf – трифлат, трифторметилсульфонат.

*Автор для переписки (тел.: (095) 135-60-65; факс: (095) 135-14-05; эл. почта: alexkhom@genome.eimb.relarn.ru).

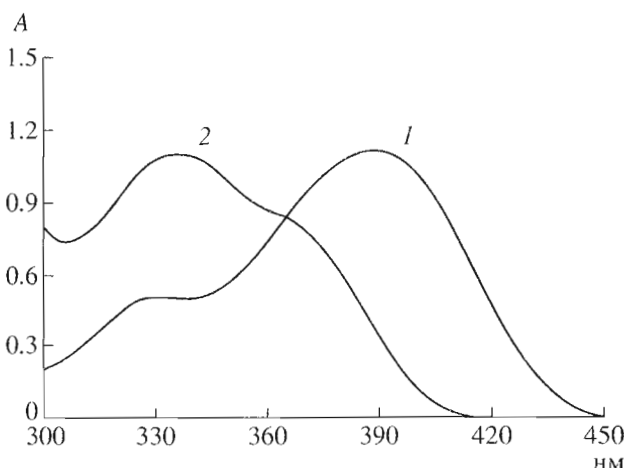


Рис. 1. УФ-спектры пиридоксаль-5'-фосфата (кривая 1) и его оксими с AO-Agm (кривая 2). (1) пиридоксаль-5'-фосфат (2.28×10^{-4} М) в 0.1 М Na-ацетатном буфере, pH 5.0; (2) то же, что для (1), но в присутствии 5×10^{-4} М AO-Agm (через 1 мин после смешения).

фактором NO-синтазы, связывается с имидазолиновыми рецепторами и выполняет функции нейротрансмиттера в мозге (см. обзор [1] и ссылки в нем). Агматин активно переносится в клетки системой транспорта путресцина и влияет на гомеостаз полиаминов. При этом истощение внутриклеточного пула спермина и спермидина резко увеличивает эффективность транспорта агматина в клетки [3].

Превращение агматина в путресцин — начальная стадия биосинтеза полиаминов в бактериях и растениях [1]. В животных клетках путресцин возникает из орнитина, в то же время есть данные, свидетельствующие о возможности биосинтеза путресцина из агматина [3], хотя существование подобного метаболического пути у эукариот и не является общепризнанным [4].

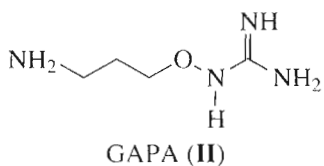
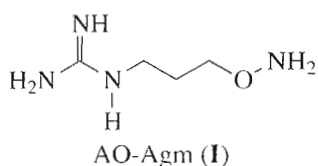
Продуктивным подходом к выяснению роли и функций агматина в клетке является изучение биохимических эффектов его аналогов. В настоящей работе описан синтез неизвестных ранее изостерных зарядодефицитных аналогов агматина — *N*-(3-аминооксипропил)гуанидина и *N*-(3-аминоокси-1-аминопропана). Обсуждаются возможности использования этих соединений для химического регулирования активности ферментов метаболизма полиаминов.

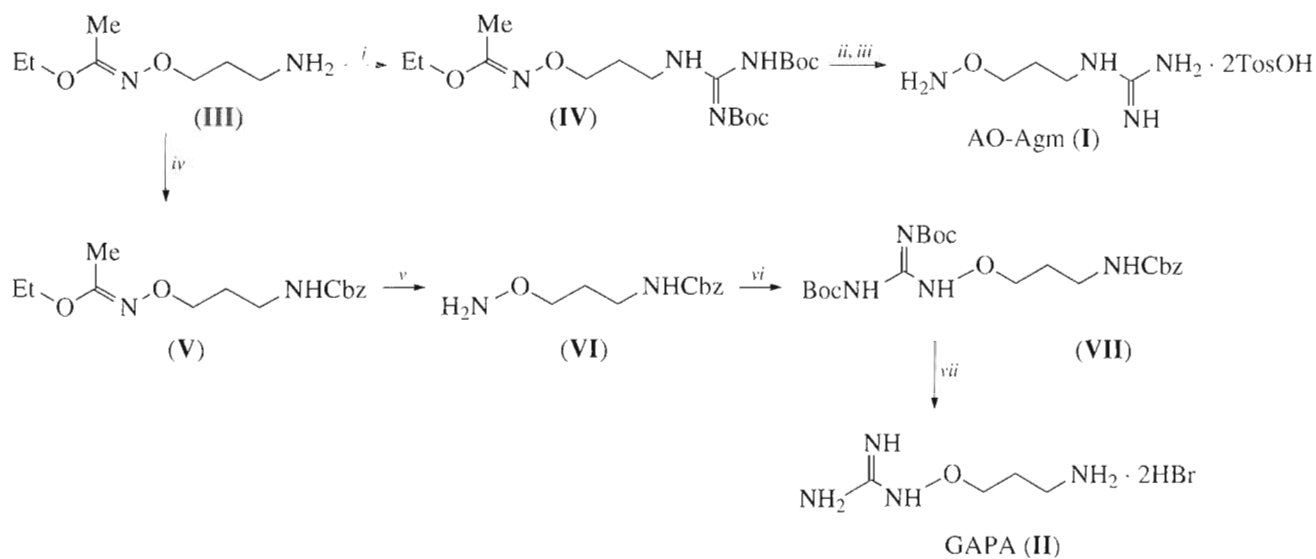
РЕЗУЛЬТАТЫ И ОБСУЖДЕНИЕ

АО-Agm является изостерным зарядодефицитным (pK_a H_2NO -группы ~ 5.0) аналогом агматина и образует, подобно другим *O*-замещенным гидроксиламинам, стабильные оксимы с альдегидами и кетонами, включая пиридоксаль-5'-фосфат (рис. 1), который служит коферментом аргинин-декарбоксилазы. Так как аминооксианалоги субстратов пируват- и пиридоксаль-5'-фосфатзависимых ферментов метаболизма аминокислот являются их эффективными ингибиторами (см. обзор [5] и ссылки в нем), то следует ожидать высокой активности АО-Agm (I) по отношению к аргининдекарбоксилазе.

Некоторые гуанидинсодержащие производные диаминов, включая агматин и 1-гуанидино-7-аминогептан (эффективный ингибитор дезоксигипузинсинтазы [6]), активно переносятся в клетки [3]. Соответственно можно ожидать, что GAPA, являющийся дважды протонированным при физиологических pH структурным аналогом агматина (pK_a $\text{H}_2\text{N}(\text{NH})\text{CNHO}$ -группы GAPA ~ 7.0–7.5, а H_2N -группы ~ 10.0), будет активно транспортироваться в клетки, используя систему транспорта путресцина. Известны примеры катаболизма аллоксигуанидинов, в частности, аминокислоты канаванина (α -амино- γ -гуанидинооксимасляная кислота), которые широко распространены в растениях семейства бобовых. На эту аминокислоту приходится 13% всего связанного азота у семян *Dioclea megacarpa* [7]. Личинки зернового жука *Caryedes brasiliensis*, питающиеся семенами этого растения, способны расщеплять канаванин до каналина (γ -аминоокси- α -аминопропионовая кислота) [7]. Соответственно нельзя исключить возможность внутриклеточной деградации соединения (II) до 3-аминоокси-1-аминопропана — одного из наиболее эффективных ингибиторов ODC [8–10]. Таким образом, соединение (II) представляет интерес для изучения особенностей активного транспорта путресцина в клетки и может рассматриваться как активно транспортируемый проингибитор орнитин декарбоксилазы.

Ключевой стадией синтеза АО-Agm и GAPA является гуанидинирование амино- и аминооксигрупп. Из химии аминокислот известно большое число гуанидинирующих реагентов, из которых наиболее часто используют метиловые эфиры мочевины и тиомочевины, их *N*-защищенные производные, а также соответствующие пиразолы [11–13]. Однако скорости реакции в ряде слу-





i – (BocNH)₂C=NTf/Et₃N/CH₂Cl₂; *ii* – HCl/PrⁱOH/H₂O; *iii* – AG 1-X8 TosO⁻-форма;

iv – Cbz-Cl/Et₃N/THF; *v* – HCl/EtOH/H₂O; *vi* – (BocNH)₂C=NTf/Et₃N/CH₂Cl₂/37°C;

vii - HBr/AcOH,

Схема 2. Синтез гидроксиламинсодержащих аналогов агматина.

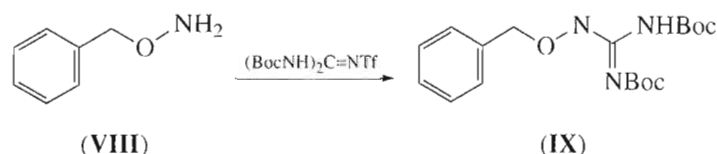


Схема 3. Синтез N^1 -бензилокси- N^2,N^3 -ди-*трет*-бутилоксикарбонилгуанидина (**IX**).

чаев невысоки, а выходы целевых продуктов далеки от количественных [6, 14]. Недавно для гуанидинирования аминов было предложено использовать трифлаты ди-Вос- и ди-Cbz-гуанидина [15], а также трифлат ди-Fmoc-гуанидина [16]. Эти реагенты превращают амины в соответствующие гуанидины за несколько часов при комнатной температуре с выходом, близким к количественному. Поэтому в настоящей работе для гуанидинирования аминогруппы использовали легко доступный трифлат ди-Вос-гуанидина.

АО-Агм (**I**) был получен (схема 2) исходя из 3-(1'-этоксиэтилиден)аминоокси-1-аминопропана (**III**). Гуанидинирование свободной аминогруппы последнего трифлатом ди-Вос-гуанидина было осуществлено согласно стандартной методике [15], ди-Вос-производное (**IV**) получено с выходом, близким к количественному. Удаление защитных групп действием HCl/EtOH привело к медленно расплывающемуся на воздухе дигидрохлориду

AO-Agm, который был превращен в хорошо кристаллизующийся тозилат (**I**).

Синтез GAPA (**II**) представлял более сложную задачу, поскольку методы гуанидинирования аминооксигруппы практически не развиты. Описанное в работе [17] превращение защищенного производного каналина в канаванин происходит в результате обработки сульфатом S-метилизотиомочевины (выход 10%) или кипячением с цианамидом в спирте (выход 70%). В настоящей работе для получения гуанидинооксиалканов впервые был использован трифлат ди-Вос-гуанидина. Исследование взаимодействия последнего с *O*-бензилгидроксиламином (**VIII**) (схема 3) показало, что соответствующее гуанидинопроизводное (**IX**) образуется с высоким выходом. Однако реакция протекает медленнее (рис. 2), чем в случае более нуклеофильных алифатических аминов. Величина константы скорости реакции второго порядка (мольные соотношения *O*-бензилгидроксиламина

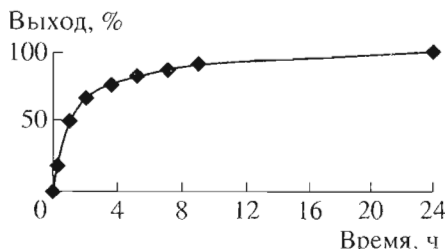


Рис. 2. Кинетика гуанидинирования *O*-бензилгидроксиламина (0.3 М) трифлатом ди-Вос-гуанидина (0.3 М) в присутствии Et_3N (0.3 М) в CDCl_3 (0.5 мл) при 37°C.

и трифлата ди-Вос-гуанидина), определенная методом ЯМР по изменению интегралов сигналов CH_2 -протонов *O*-бензилгидроксиламина (**VIII**) (δ 4.63 м.д.) и CH_2 -протонов ди-Вос-защищенного бензилоксигуанидина (**IX**) (δ 5.01 м.д.), составила 2.66×10^{-2} л моль $^{-1}$ мин $^{-1}$ ($\tau_{1/2}$ 75 мин при 37°C).

Аналог (**II**) был синтезирован исходя из 3-(1'-этоксиэтилиден)аминоокси-1-аминопропана (**III**) (схема 2), свободную аминогруппу которого сначала бензилоксикарбонилировали, а затем удаляли этоксиэтилиденовую защиту действием HCl в водном спирте, что приводило к соответствующему гидрохлориду, который переводили в основание (**VI**). Затем полученное соединение (**VI**) гуанидинировали трифлатом ди-Вос-гуанидина в течение 24 ч при 37°C, что позволило получить с высоким выходом соединение (**VII**). Одновременное удаление Вос- и Cbz-защитных групп действием HBr/AcOH при комнатной температуре привело к кристаллическому дигидробромиду соединения (**II**).

Таким образом, оказалось, что трифлат ди-Вос-гуанидина эффективно гуанинирует не только амины, но и существенно менее нуклеофильные *O*-алкилгидроксиламины, что позволило получить новые изостерные зарядодефицитные аналоги агматина – АО-Agm и GAPA.

ЭКСПЕРИМЕНТАЛЬНАЯ ЧАСТЬ

В работе использовали реагенты: Cbz-Cl, абс. EtOH (Fluka); ионообменную смолу AG 1-X8 200–400 меш (BioRad). 3-(1'-Этоксиэтилиден)аминоокси-1-аминопропан синтезирован как описано в работе [18]; трифлат *N,N*-ди-Вос-гуанидина синтезирован как описано в работе [15]; основание *O*-бензилгидроксиламина синтезировано как описано в работе [19]. ТСХ проводили на пластинках Kieselgel 60 F₂₅₄ (Merck) в системах: CHCl_3 – MeOH , 4 : 1 (A); MeOH – H_2O –25% NH_4OH – $\text{CF}_3\text{COONH}_4$, 120 : 49 : 30 : 1 (B); CCl_4 – MeOH , 95 : 5 (B); диоксан–25% NH_4OH , 7 : 3 (Г). Вещества на хроматограммах обнаруживали по УФ-поглощению и цветной реакции с нингидрином, а аминооксисоединения – в виде флуоресцирующих оксимов пиридоксаль-5'-фосфата. Колоночную хроматографию выпол-

няли на силикагеле Kieselgel (40–63 мкм, Merck) системы для элюции указаны в тексте.

Спектры ЯМР регистрировали на приборе Bruker Avance 500 DRX (Германия) с рабочей частотой 500.1 МГц для ¹Н-ЯМР-спектров и 125.8 МГц для ¹³C-ЯМР-спектров. Вещества несколько раз соупаривали с CD_3OD и затем растворяли в CDCl_3 . В качестве внутреннего стандарта использовали Me_4Si (CDCl_3) и натриевую соль 3-триметилсилил-1-пропансульфокислоты (D_2O). Приведены хим. сдвиги в миллионных долях, а КССВ – в герцах.

***N*¹-[3-(1'-Этоксиэтилиден)аминоокси-1-аминопропил]-*N,N*³-ди-*трем*-бутилоксикарбонилгуанидин (IV).** К раствору 0.24 г (1.5 ммоль) соединения (**III**) и 0.21 мл (1.5 ммоль) Et_3N в 3 мл CH_2Cl_2 прибавляли раствор 0.53 г (1.35 ммоль) трифлата ди-Вос-гуанидина в 3 мл CH_2Cl_2 и выдерживали 1.5 ч при комнатной температуре. Реакционную смесь разбавляли вдвое CH_2Cl_2 , промывали последовательно 10% лимонной кислотой, H_2O , 1 М NaHCO_3 , H_2O , насыщ. NaCl и упаривали в вакууме досуха. Остаток высушивали в вакууме над P_2O_5 и получали 0.50 г (91%) соединения (**IV**) в виде густого масла. R_f 0.76 (A). ¹Н-ЯМР (CDCl_3): 4.00–3.93 (4 H, м, CH_3CH_2 + NOCH_2); 3.52 (2 H, м, CH_2NH); 1.91 (3 H, с, $\text{CH}_3\text{C}=\text{NO}$); 1.89 (2 H, м, $\text{CH}_2\text{CH}_2\text{CH}_2$); 1.48 (9 H, с, $\text{C}(\text{CH}_3)_3$); 1.46 (9 H, с, $\text{C}(\text{CH}_3)_3$); 1.24 (3 H, т, J 7.16, CH_3CH_2).

Дитозилат *N*-(3-аминоокси-1-аминопропил)гуанидина (I). К раствору 0.34 г (0.85 ммоль) соединения (**IV**) в 5 мл Pr^iOH прибавляли 0.5 мл 37% HCl и выдерживали 5 ч при комнатной температуре. Реакционную смесь упаривали в вакууме досуха, маслобразный остаток несколько раз соупаривали с абс. Pr^iOH , высушивали в вакууме над $\text{P}_2\text{O}_5/\text{KOH}$ и получали 0.22 г кристаллического дигидрохлорида *N*-(3-аминоокси-1-аминопропил)гуанидина, медленно распывающегося на воздухе. R_f 0.28 (Б). ¹Н-ЯМР (D_2O): 4.16 (2 H, т, J 6.0, H_2NOCH_2); 3.33 (2 H, т, J 6.8, CH_2NH); 1.99 (2 H, м, $\text{CH}_2\text{CH}_2\text{CH}_2$). ¹³C-ЯМР (D_2O): 159.74 (с, $\text{NH}_2(\text{NH})\text{C}$); 75.42 (т, H_2NOCH_2); 40.63 (т, CH_2NH); 29.43 (т, $\text{CH}_2\text{CH}_2\text{CH}_2$). Дигидрохлорид переводили в дитозилат на колонке с ионообменной смолой AG 1-X8 в Tos^- -форме, перекристаллизовывали из абс. EtOH , высушивали в вакууме над P_2O_5 и получали 0.33 г (83%) соединения (**I**). Т. пл. 195–196°C. Найдено, %: С 45.62, Н 6.03, N 11.87. $\text{C}_{18}\text{H}_{28}\text{N}_4\text{O}_7\text{S}_2$. Вычислено, %: С 45.36, Н 5.92, N 11.76.

3-Аминоокси-1-(*N*-бензилоксикарбонил)аминоопропан (VI**).** К охлажденному до 0°C раствору 1.33 г (8.3 ммоль) соединения (**III**) и 1.6 мл (11 ммоль) Et_3N в 15 мл THF при интенсивном перемешивании прибавляли 1.2 мл (8.0 ммоль) Cbz-Cl в три приема с интервалом в 15 мин, затем перемешивали 1 ч при 0°C и 3 ч при комнатной температуре. Гидрохлорид триэтиламина отфильтровывали, фильтрат упаривали в вакууме досуха, остаток растворяли в 20 мл CHCl_3 , охлаждали до +4°C, последователь-

но промывали холодными H_2O , 10% лимонной кислотой, H_2O , 1 М $NaHCO_3$, H_2O и сушили над $MgSO_4$. Органический растворитель отгоняли в вакууме и после высушивания остатка в вакууме над P_2O_5 получали 2.39 г (92%) 3-(1'-этоксиэтилен)аминоокси-1-(*N*-бензилоксикарбонил)амино-пропана (**V**) в виде густого масла. R_f 0.58 (B).

К раствору 2.39 г (7.7 ммоль) соединения (**V**) в 13 мл абс. $EtOH$ прибавляли 1.7 мл 37% HCl и выдерживали 10 мин при комнатной температуре. Реакционную смесь упаривали в вакууме досуха, остаток перекристаллизовывали из $EtOH$ с $EtOAc$ и получали 1.47 г (73%) гидрохлорида 3-аминоокси-1-(*N*-бензилоксикарбонил)аминопропана: R_f 0.62 (D). К раствору 0.52 г (2 ммоль) гидрохлорида соединения (**VI**) в 7 мл H_2O прибавляли 0.2 мл 10 М $NaOH$, экстрагировали $CHCl_3$ и сушили над K_2CO_3 . Раствор упаривали в вакууме досуха, твердый остаток высушивали в вакууме над P_2O_5 и получали 0.38 г (86%) соединения (**VI**). R_f 0.51 (A). 1H -ЯМР ($CDCl_3$): 7.34–7.30 (5 H, м, C_6H_5); 5.37 (2 H, с, $PhCH_2$); 3.70 (2 H, т, J 5.92, H_2NOCH_2); 3.29–3.24 (2 H, м, CH_2NHZ); 1.79–1.73 (2 H, м, $CH_2CH_2CH_2$).

***N*¹-(3-Бензилоксикарбониламинопропокси)-*N*²,*N*³-ди-трем-бутилоксикарбонилгуанидин (VII).** К раствору 0.32 г (1.4 ммоль) соединения (**VI**) и 0.2 мл (1.4 ммоль) Et_3N в 3 мл CH_2Cl_2 прибавляли раствор 0.49 г (1.26 ммоль) трифлата ди-Вос-гуанидина в 3 мл $CHCl_3$ и выдерживали 24 ч при 37°C. Реакционную смесь разбавляли вдвое $CHCl_3$, промывали последовательно 10% лимонной кислотой, H_2O , 1 М $NaHCO_3$, H_2O , нас. $NaCl$, растворитель отгоняли в вакууме, остаток высушивали в вакууме над P_2O_5 и получали 0.49 г (88%) соединения (**VII**) в виде густого масла. R_f 0.52 (A). 1H -ЯМР ($CDCl_3$): 7.31 (5 H, м, C_6H_5); 5.07 (2 H, с, $PhCH_2$); 4.07 (2 H, т, J 5.6, $NOCH_2$); 3.28 (2 H, м, CH_2NHZ); 1.83 (2 H, м, $CH_2CH_2CH_2$); 1.46 (9 H, с, $C(CH_3)_3$); 1.44 (9 H, с, $C(CH_3)_3$).

Дигидробромид *N*-(3-аминопропокси)гуанидина (II). К раствору 0.49 г (1.1 ммоль) соединения (**VII**) в 5 мл $AcOH$ прибавляли 3 мл 32% $HBr/AcOH$ и выдерживали 2 ч при комнатной температуре. К полученной суспензии прибавляли 8 мл смеси $AcOH-Et_2O$, 1 : 1, осадок отфильтровывали, промывали Et_2O , высушивали в вакууме над KOH , перекристаллизовывали из абс. $EtOH$, высушивали в вакууме над P_2O_5/KOH и получали 0.26 г (70%) соединения (**II**). R_f 0.25 (Г); т. пл. 172–173°C (с разл.). Найдено, %: С 16.48, Н 4.77, N 19.20. $C_4H_{14}Br_2N_4O$. Вычислено, %: С 16.34, Н 4.80, N 19.06. 1H -ЯМР (D_2O): 4.06 (2 H, т, J 6.20, $HNOCH_2$); 3.14 (2 H, т, J 7.50, CH_2NH_2); 2.08 (2 H, м, $CH_2CH_2CH_2$). ^{13}C -ЯМР (D_2O): 161.54 (с, $NH_2(NH)C$); 77.07 (т, $HNOCH_2$); 39.67 (т, CH_2NH_2); 28.08 (т, $CH_2CH_2CH_2$).

***N*¹-Бензилокси-*N*²,*N*³-ди-трем-бутилоксикарбонилгуанидин (IX).** К раствору 18.8 мг (0.15 ммоль) основания *O*-бензилгидроксиламина (**VIII**) и 22 мкл

(0.15 ммоль) Et_3N в 0.5 мл $CDCl_3$ прибавляли 54.3 мг (0.15 ммоль) трифлата ди-Вос-гуанидина, выдерживали 24 ч при 37°C, регистрируя каждый час 1H -ЯМР-спектры. Реакционную смесь обрабатывали по стандартной методике (см. синтез соединения (**VII**)) и получали 35 мг (71%) соединения в виде густого масла. R_f 0.62 (G). 1H -ЯМР ($CDCl_3$): 7.42–7.31 (5 H, м, C_6H_5), 5.01 (2 H, с, $C_6H_5CH_2$), 1.48 (9 H, с, $C(CH_3)_3$), 1.45 (9 H, с, $C(CH_3)_3$).

Работа выполнена при финансовой поддержке Российского фонда фундаментальных исследований (грант № 03-04-49080) и Академии наук Финляндии.

СПИСОК ЛИТЕРАТУРЫ

- Reis D.J., Regunathan S. // Trends Pharmacol. Sci. 2000. V. 21. P. 187–193.
- Grillo M.A., Colombatto S. // Amino Acids. 2004. V. 26. P. 3–8.
- Cabella C., Gardini G., Corpillo D., Testore G., Bedino S., Solinas S.P., Cravanzola C., Vargiu C., Grillo M.A., Colombatto S. // Eur. J. Biochem. 2001. V. 268. P. 940–947.
- Coleman C.S., Hu G., Pegg A.E. // Biochem. J. 2004. V. 379. P. 849–855.
- Хомутов А.Р. // Биохимия. 2002. Т. 67. С. 1403–1412.
- Lee Y.B., Park M.H., Folk J.E. // J. Med. Chem. 1995. V. 38. P. 3053–3061.
- Rosenthal G.A., Jansen D.H., Dahlman D.L. // Science. 1977. V. 196. P. 658–660.
- Hyvonen T., Alakuijala L., Andersson L., Khomutov A.R., Khomutov R.M., Eloranta T.O. // J. Biol. Chem. 1988. V. 263. P. 11138–11144.
- Milovic V., Turchanowa L., Khomutov A.R., Khomutov R.M., Caspary W.F., Stein J. // Biochem. Pharmacol. 2001. V. 61. P. 199–206.
- DasGupta R., Krause-Ihle T., Bergmann B., Khomutov A.R., Muller S., Walter R.D., Luersen K. // Antimicrob. Agents Chemother. 2005. V. 49. P. 2857–2864.
- Snider B.B., Shi Z. // J. Org. Chem. 1993. V. 58. P. 3828.
- Bergeron R.J., McManis J.S. // J. Org. Chem. 1987. V. 52. P. 1700.
- Fotsch C.H., Wong C.-H. // Tetrahedron Lett. 1994. V. 35. P. 3481.
- Aissaoui A., Martin B., Kan E., Oudrhiri N., Hauchecorne M., Vigneron J.-P., Lehn J.-M., Lehn P. // J. Med. Chem. 2004. V. 47. P. 5210–5223.
- Feichtinger K., Zapf C., Sings H.L., Goodman M. // J. Org. Chem. 1998. V. 63. P. 3804–3805.
- Antopolksky M., Azhayev A. // Tetrahedron Lett. 2000. V. 47. P. 9113–9117.
- Frankel M., Knobler Y., Zvilichovsky G. // J. Chem. Soc. 1963. P. 3127–3130.
- Khomutov A.R., Vepsalainen J., Shvetsov A.S., Hyvonen T., Keinanen T.A., Pustobaev V.N., Eloranta T.O., Khomutov R.M. // Tetrahedron. 1996. V. 52. P. 13751–13766.
- Хомутов Р.М., Северин Е.С., Гнучев Н.В., Деревянко Т.Я. // Изв. АН СССР. Сер. хим. 1967. № 8. С. 1820–1823.

New Charge-Deficient Agmatine Analogues

A. R. Simonyan*, N. A. Grigorenko*, J. Vepsäläinen, and A. R. Khomutov**#**

#Phone: +7 (095) 135-6065; fax: +7 (095) 135-1405; e-mail: alexkhom@genome.eimb.relarn.ru

*Engelhardt Institute of Molecular Biology, Russian Academy of Sciences,
ul. Vavilova 32, Moscow, 119991 Russia

**Department of Chemistry, University of Kuopio, P.O.Box 1627, FIN-70211, Kuopio, Finland

N,N'-Di-Boc-N''-triflylguanidine was demonstrated to be an efficient guanidinylation reagent for O-substituted hydroxylamines. N-(3-Aminooxypropyl)- and N-(3-aminopropoxy)guanidines, previously unknown isosteric and charge-deficient agmatine analogues, have been synthesized. The possibilities of using these compounds in studying polyamine metabolism are discussed. The English version of the paper: Russian Journal of Bioorganic Chemistry, 2005, vol. 31, no. 6; see also <http://www.maik.ru>.

Key words: agmatine, polyamines, O-substituted hydroxylamines